



Ministério da Educação – Brasil  
Universidade Federal dos Vales do Jequitinhonha e Mucuri – UFVJM  
Minas Gerais – Brasil  
Revista Vozes dos Vales: Publicações Acadêmicas  
Reg.: 120.2.095 – 2011 – UFVJM  
ISSN: 2238-6424  
QUALIS/CAPES – LATINDEX  
Nº. 10 – Ano V – 10/2016  
<http://www.ufvjm.edu.br/vozes>

## Estudos de Modelos de Equações Diferenciais para Deflexão de Vigas

Prof<sup>a</sup>. Dr<sup>a</sup>. Jaqueline Maria da Silva  
Doutora em Modelagem Computacional pelo Laboratório  
Nacional de Computação Científica - LNCC  
Docente do Instituto de Ciência, Engenharia e Tecnologia – ICET da  
Universidade Federal dos Vales do Jequitinhonha e Mucuri - UFVJM  
Minas Gerais - Brasil  
<http://lattes.cnpq.br/4343491423219191>  
E-mail: [jaqueline.silva@ufvjm.edu.br](mailto:jaqueline.silva@ufvjm.edu.br)

Luara Achtschin Godinho  
Discente do Bacharelado em Ciência e Tecnologia - UFVJM  
<http://lattes.cnpq.br/5389441374606723>  
E-mail: [luaraagodinho@hotmail.com](mailto:luaraagodinho@hotmail.com)

Phillipe Luz de Moraes  
Discente do Bacharelado em Ciência e Tecnologia - UFVJM  
<http://lattes.cnpq.br/7776847848749655>  
E-mail: [phillipe\\_luz@hotmail.com](mailto:phillipe_luz@hotmail.com)

**Resumo:** Este estudo foi realizado através da aplicação e implementação de modelos matemáticos, com o auxílio de *softwares* como o *Wolfram* e *FTool*. Com o auxílio do Cálculo Diferencial, utilizando o Teorema de Laplace e o método de Variáveis Separáveis, foram analisados modelos para deflexão máxima em casos de vigas bi apoiadas, engastadas e em balanço. Comparando os resultados obtidos com o uso de *softwares* observou-se que os valores encontrados são bastante similares. Os métodos apresentados foram eficazes e práticos, reafirmando a necessidade de que sejam usados como método de solução de problemas relacionados à deflexão de vigas. Tais métodos são importantes para facilitar o entendimento na área que diz respeito à análise de estruturas, colocando o

estudante frente a problemas práticos da realidade profissional e o capacitando a solucioná-los.

**Palavras-chave:** Deflexão de vigas. Equações Diferenciais. *FTool*. *Wolfram*. Modelagem matemática.

## Introdução

No ramo da engenharia civil que engloba a concepção de construção e manutenção de variados tipos de infraestrutura, além do notório cuidado com o meio ambiente, percebe-se uma maior relevância de certas disciplinas que a fundamentam, tais como o Cálculo Diferencial e a Física Mecânica.

Uma das aplicações desses conteúdos se encontra na área de Resistência dos Materiais e Análise de Estruturas. Embora o uso e o domínio do Cálculo Diferencial (JARDIM et al, 2015) seja de extrema importância, percebe-se que no ensino superior atual não é presente, no raciocínio do discente, nem na maioria dos livros didáticos, o emprego de conhecimentos práticos, mas certamente eficazes.

Muitos discentes durante a graduação enfrentam grande dificuldade ao se depararem com a aplicação de conceitos básicos necessários para a análise de diversas estruturas, como pontes, vigas e pilares. No caso das vigas, um importante estudo está relacionado com a deflexão, que por definição representa uma alteração ou desvio da posição natural para um dos lados.

Segundo (RIOS, 1999) a viga é um elemento estrutural de ferro, concreto armado ou madeira, grosso e longo, para construções. Está sujeita à cargas transversais e é responsável por transmitir o peso das lajes e dos demais elementos, como paredes e portas, às colunas. “Devido às cargas aplicadas às vigas, as mesmas sofrem não só tensões normais e de cisalhamento, mas também deslocamentos lineares dos pontos dos eixos das barras.” (CÉSAR, [ca.2010], p.1)

Ainda, de acordo com Sarturi (2014, p.22):

Apesar da utilização de materiais de grande controle tecnológico e resistência, os processos que ocorrem na natureza, como variação de temperatura, radiação solar e muitos outros, aliados a fatores como acidentes, uso inadequado ou mesmo o envelhecimento natural do material, provocam o processo conhecido como deterioração estrutural [...] que gera diminuição da resistência da estrutura, podendo levar a situações extremas [...]. (SARTURI, 2014, p.22)

Para facilitar o estudo de tais deslocamentos este estudo propõe o uso de modelos matemáticos associados à modelagem computacional, o que permitirá uma melhor visualização, assim como uma melhor compreensão dos comportamentos de certos materiais estudados em engenharia estrutural, aperfeiçoando as relações de custo-benefício da obra, evitando desperdícios, desgastes e acidentes desnecessários.

Este estudo foi realizado usando *softwares* em modelos matemáticos, mostrando como construí-los e elaborá-los através do uso de conceitos básicos de Cálculo Diferencial. O *software* Wolfram foi usado como ferramenta computacional e o FTool foi utilizado para a criação de gráficos e diagramas.

## Modelo

A deflexão estática  $y(x)$  de uma viga uniforme de comprimento  $L$  suportando uma carga  $q(x)$  por unidade de comprimento satisfaz a equação de quarta ordem:

$$EI \frac{d^4y}{dx^4} = q(x) \quad (1)$$

Onde:

$E$  é o módulo de elasticidade de Young;

$I$  é um momento de inércia de uma seção transversal da viga; (ZILL & CULLEN, 2001, p.28)

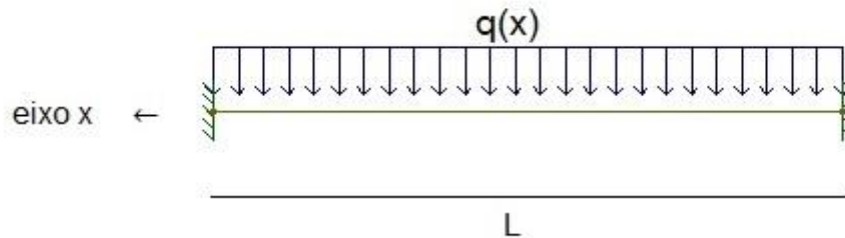
## Viga engastada em ambas as extremidades

Para (LEET et al, 2010) vigas engastadas são hiperestáticas e não possuem muitas aplicações, sendo mais comumente vistas em estruturas metálicas. Apesar da maioria dos casos serem de vigas hiperestáticas, as engastadas em ambos os lados são pouco utilizadas e tem como característica uma enorme causa de esforço

interno, principalmente ao dilatar devido a alterações climáticas, podendo sofrer rachaduras danificando as obras.

A Figura 1 apresenta um exemplo de uma viga engastada em ambas extremidades e com carga  $q(x)$  uniformemente distribuída em todo o seu comprimento  $L$ . Neste caso, a deflexão  $y(x)$  satisfaz a Equação (1) e pode-se deduzir as seguintes condições de contorno:

**Figura 1 – Viga engastada com carga uniformemente distribuída**



$$y(0) = 0 ; y(L) = 0 ; y'(0) = 0 ; y'(L) = 0.$$

Usando as condições de contorno acima, observa-se que, como está engastada em ambos os lados, não haverá movimento e nem variação de movimento. Logo,  $y(0)$ ,  $y(L)$  e suas respectivas derivadas serão nulos. Aplicando a transformada de Laplace na Equação (1) encontra-se:

$$EI(s^4Y(s) - s^3y(0) - s^2y'(0) - sy''(0) - y'''(0)) = \frac{q(x)}{s}$$

Analisando as condições de contorno para  $y(0)$  e  $y'(0)$ , pode-se concluir:

$$s^4Y(s) - sy''(0) - y'''(0) = \frac{q(x)}{EIs} \quad (2)$$

Dividindo toda a função por  $s^4$ , e considerando  $y''(0) = A$  e  $y'''(0) = B$ , então:

$$Y(s) = \frac{A}{s^3} + \frac{B}{s^4} + \frac{q(x)}{EIs^5} \quad (3)$$

Aplicando a inversa da transformada de Laplace, obtém-se a função em termos de  $x$ :

$$\begin{aligned}
 y(x) &= \frac{A}{2!} \mathcal{L}^{-1} \left\{ \frac{2!}{s^3} \right\} + \frac{B}{3!} \mathcal{L}^{-1} \left\{ \frac{3!}{s^4} \right\} + \frac{q(x)}{4!EI} \mathcal{L}^{-1} \left\{ \frac{4!}{s^5} \right\} \\
 &= \frac{A}{2} x^2 + \frac{B}{6} x^3 + \frac{q(x)}{24EI} x^4
 \end{aligned} \tag{4}$$

Pelas condições de  $y(L) = 0$  e  $y'(L) = 0$ , a última equação conduz ao sistema:

$$\begin{aligned}
 \frac{A}{2} L^2 + \frac{B}{6} L^3 + \frac{q(x)}{24EI} L^4 &= 0 \\
 AL + \frac{B}{2} L^2 + \frac{q(x)}{6EI} L^3 &= 0
 \end{aligned}$$

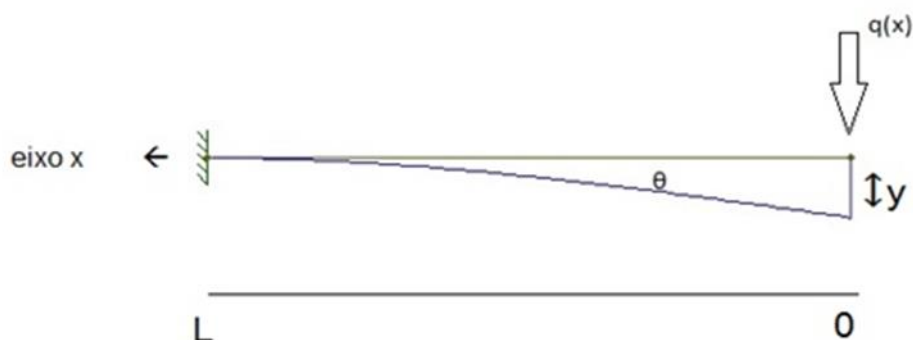
Ao resolvê-lo, encontra-se  $A = \frac{q(x)L^2}{12EI}$  e  $B = -\frac{q(x)L}{2EI}$ . Logo, a função correspondente a deflexão sofrida pela viga é dada por

$$y(x) = \frac{q(x)L^2}{24EI} x^2 - \frac{q(x)L}{12EI} x^3 + \frac{q(x)}{24EI} x^4 \tag{5}$$

### Viga em balanço

A viga em balanço (ver Figura 2) é uma viga de edificação “[...] engastada em uma extremidade e livre na outra” (HIBBELER, 2004, p.199). Toda a carga recebida é transmitida a um único ponto de fixação. É amplamente utilizada em diversas aplicações como varandas, calçadas, telhados e em construções mais notórias como a Catedral de Brasília.

Figura 2 – Viga em balanço



Considerando o ponto de engaste como  $L$  e a extremidade em balanço da viga como ponto  $0$ , obtemos as condições de contorno:

Condição de contorno 1:  $y'(L) = 0$ .

Condição de contorno 2:  $y(L) = 0$ .

Durante os processos de integração, usa-se as condições de contornos já definidas para encontrar as constantes.

$$EI \frac{d^2y}{dx^2} = q(x) \quad (6)$$

Realizando a 1ª integração em função de  $x$  da Equação (6):

$$\begin{aligned} EI \int d\left(\frac{dy}{dx}\right) &= \int q x dx \\ EI \left(\frac{dy}{dx}\right) &= \frac{qx^2}{2} + C_1 \end{aligned} \quad (7)$$

Utilizando a primeira condição de contorno para encontrar  $C_1$ :

$$y'(L) = 0, \text{ logo, quando } x = L, \frac{dy}{dx} = 0.$$

$$0 = \frac{qL^2}{2} + C_1$$

$$C_1 = -\frac{qL^2}{2}$$

Substituindo a constante na Equação (7), obtêm-se a expressão, que caracteriza a declividade sofrida pela viga:

$$EI \frac{dy}{dx} = \frac{qx^2}{2} - \frac{qL^2}{2} \quad (8)$$

Realizando a 2ª integração em função de  $x$  da Equação (8), obtêm-se:

$$EIy = \frac{qx^3}{6} - \frac{qL^2x}{2} + C_2 \quad (9)$$

Encontrando  $C_2$  utilizando a segunda condição de contorno definida:  $y(L) = 0$ , logo, quando  $x = L, y = 0$ .

$$0 = \frac{qL^3}{6} - \frac{qL^3}{2} + C_2$$

Portanto,

$$C_2 = \frac{qL^3}{3}$$

Substituindo a nova constante na Equação (9), obtêm-se a expressão para a deflexão máxima:

$$EIy = \frac{qx^3}{6} - \frac{qL^2x}{2} + \frac{qL^3}{3} \quad (10)$$

Pela teoria linear, a flecha  $y$  e a declividade  $\frac{dy}{dx}$ , assim como o ângulo causado na deflexão, são expressas por (11) e (12), respectivamente:

$$y = \frac{q}{EI} \left( \frac{x^3}{6} - \frac{L^2x}{2} + \frac{L^3}{3} \right) \quad (11)$$

$$\frac{dy}{dx} = \operatorname{tg}\theta = \frac{q}{EI} \left( \frac{x^2}{2} - \frac{L^2}{2} \right), \text{ e também } \theta = \operatorname{arctg} \left[ \frac{q}{EI} \left( \frac{x^2}{2} - \frac{L^2}{2} \right) \right] \quad (12)$$

## Vigas bi apoiadas

As vigas bi apoiadas ou simplesmente apoiadas são aquelas com dois apoios, que podem ser simples e/ou engastados. Estão entre as estruturas mais simples e comuns nas aplicações em problemas de engenharia. Seu comportamento dinâmico não-linear é bem conhecido e a maioria dos estudos de vibrações não-lineares em vigas trata daquelas simplesmente apoiadas, já que as vigas sob essas condições de contorno apresentam soluções lineares e não-lineares de forma e tratamento mais simples que aquelas com outros tipos de apoio.

Pode-se encontrar tais vigas em pontes e longarinas, assim como automóveis e construções em geral. Algumas bastante conhecidas como o Museu de Arte de São Paulo, o MASP, com um vão de mais de 70 metros estendido sobre 4 pilares (MASP, 2016)<sup>1</sup>. Existem famosos projetos como a Ponte Chacao no Chile que com seus 2750 metros de extensão, terá um vão de mais de 1000 metros entre seus pilares. Embora prevista para 2020, essa ponte com certeza é um exemplo claro de vigas bi apoiadas sendo utilizadas ao extremo e com perfeição (LOUZAS, 2014).

Abaixo segue a dedução das equações de deflexão máxima, também chamada de flecha, numa viga isostática com carregamento  $q(x)$  uniformemente distribuído de comprimento  $L$ .

Figura 3 – Diagrama da força  $q(x)$

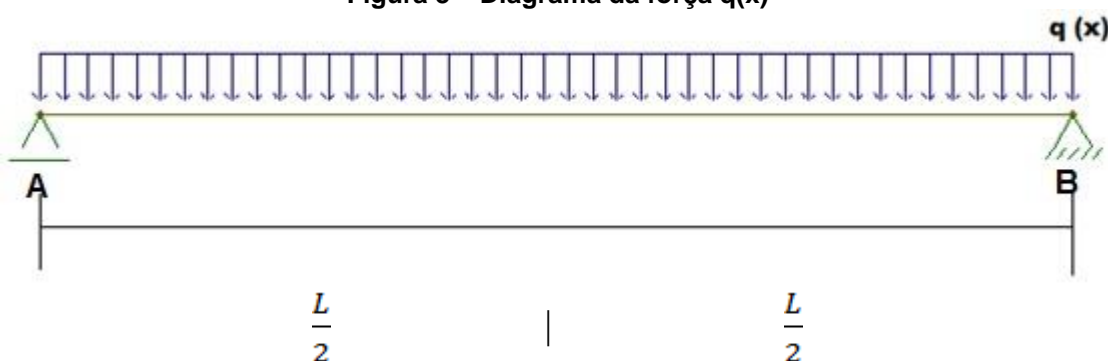


Figura 4 – Diagrama de Momento  $[M(x)]$

<sup>1</sup> Sobre o Masp: histórico. (s.d.). Museu de Arte de São Paulo. Disponível em: < [http://masp.art.br/masp2010/sobre\\_masp\\_historico.php](http://masp.art.br/masp2010/sobre_masp_historico.php)>. Acesso em: 11 set. 2016.

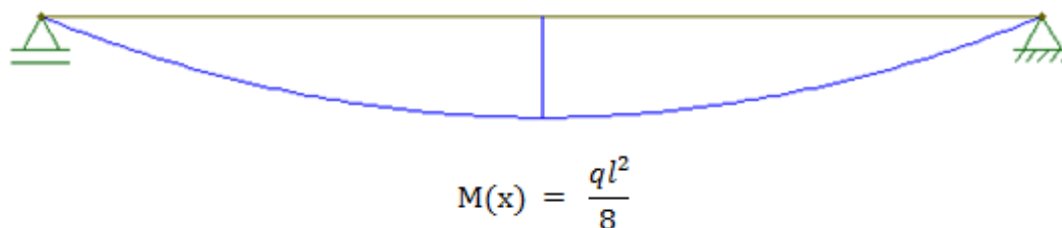


Figura 5 – Diagrama de uma força concentrada,  $P=1\text{kN}$

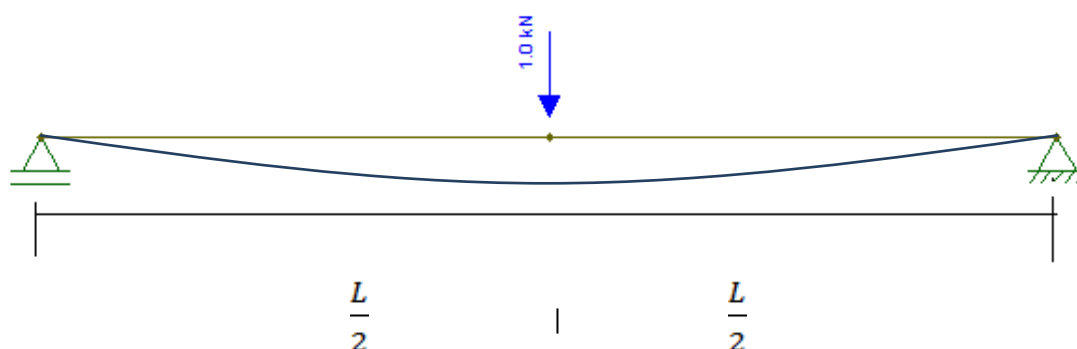


Figura 6 – Diagrama de momento  $[m(x)]$

A curva formada no diagrama de força  $q(x)$  é chamada de flecha (Figura 3), e representa a deformação sofrida pela viga ao receber influências de forças externas (LEET et al., 2010). O comprimento  $L$  foi dividido em 2 para especificar o vértice da curva e o centro da viga. É nesse ponto que se encontra a flecha máxima, ou seja, a maior deflexão sofrida pela viga por uma força qualquer.

A curva do diagrama de momento (Figura 4) é uma função de segundo grau descrita por  $M(x) = \frac{qLx}{2} - \frac{qx^2}{2}$ , e o momento quando  $x = \frac{L}{2}$  (deformação máxima da flecha) é  $\frac{qL^2}{8}$ . No diagrama de momento da força concentrada (Figura 6), observa-se uma única força no centro, então é fácil de presumir que o gráfico será formado por retas lineares. Logo, a função de primeiro grau será determinada por

intervalos, para  $0 \leq x \leq \frac{L}{2}$ , temos que  $m(x) = \frac{Px}{2}$ . E para  $\frac{L}{2} \leq x \leq L$ , tem-se  $m(x) = \frac{Px}{2} + \frac{PL}{2}$ .

Novamente o ponto máximo da deformação será em  $\frac{L}{2}$  e o momento máximo  $m(x)$  será  $\frac{PL}{4}$ . Neste caso a força é  $P = 1\text{kN}$ . Assumindo  $W_e = W_i$ :

$$Py = \int_0^L \left( \frac{M(x)m(x)}{EI} \right) dx \quad (13)$$

Para facilitar os cálculos divide-se o intervalo em dois, obtendo assim uma integral com o intervalo de 0 até  $\frac{L}{2}$ . Com o intuito de balancear o resultado, multiplicar-se a nova integral por 2:

$$Py = 2 \int_0^{\frac{L}{2}} \left( \frac{M(x)m(x)}{EI} \right) dx \quad (14)$$

Onde ' $P$ ' é a força de valor unitário, ' $y$ ' é o deslocamento da flecha a ser encontrado,  $M(x)$  e  $m(x)$  são as funções de momento já mencionadas, o ' $E$ ' corresponde a elasticidade do material da viga, e o ' $I$ ' é o momento de inércia. Nesse caso genérico, tanto o ' $E$ ' quanto o ' $I$ ' serão considerados constantes. Retirando as constantes da integral:

$$EIy = 2 \int_0^{\frac{L}{2}} M(x)m(x) dx$$

Substituindo as equações de momento:

$$EIy = 2 \int_0^{\frac{L}{2}} \left( \frac{qxL}{2} - \frac{qxL^2}{2} \right) \left( \frac{x}{2} \right) dx$$

Resolvendo a Integral definida:

$$EIy = 2 \left[ \frac{qLx^3}{12} - \frac{qx^4}{16} \right] \quad (\text{No intervalo de } 0 \text{ até } \frac{L}{2})$$

Aplicando o intervalo na variável e simplificando o '2':

$$Ely = \frac{ql^4}{48} - \frac{ql^4}{128}$$

Realizando o mínimo múltiplo comum e isolando o 'y', obtemos:

$$y(\max) = \frac{5qL^4}{384EI} \quad (15)$$

A Equação (15) é a equação geral para o cálculo de flecha máxima numa viga isostática e bi apoiada.

## Metodologia

Utilizando as equações de momento e deflexão apresentadas na seção anterior, determina-se a deflexão máxima de uma viga bi apoiada com os seguintes dados apresentados na Tabela 1:

**Tabela 1 – Dados da viga Bi apoiada**

Tipo de apoio	Bi apoiada
Tipo de carga	Carga distribuída
Valor da carga (q)	$11,3 \frac{N}{m}$
Comprimento da Viga (L)	$1,2 \text{ m}$
Módulo de Young (E)	$207 \text{ GPa}$
Seção transversal	Viga em I
Altura da seção	$0,0508 \text{ m}$
Largura da seção	$0,0127 \text{ m}$
Altura da parte interior	$0,0457 \text{ m}$
Espessura interior	$0,0025 \text{ m}$
Inércia de momento	$5,7935 \times 10^{-8} \text{ m}^4$

Fonte: Dados obtidos no Wolfram

O material que compõe a viga é aço, como representado pelo Módulo de Elasticidade de Young ( $E$ ) (HIBBELER, 2004). Analisando a Figura (3), pode-se efetuar os cálculos de reações de apoio dos eixos. Para isso, é preciso estabelecer os pontos de referência e os eixos. Considerando a distância do ponto  $A$  ao ponto  $B$  como  $L$ , o eixo cartesiano  $X$  nessa mesma horizontal, e o eixo  $Y$  na vertical perpendicular a viga, pode-se estabelecer algumas condições de contorno que serão úteis na dedução das equações.

Para calcular as reações de apoio, analisa-se o comportamento das forças e cargas na viga. Tem-se uma carga distribuída  $q(x)$  voltada para baixo, então opta-se por definir o referencial negativo para baixo, em direção ao movimento de deflexão da viga. Nos pontos  $A$  e  $B$ , os apoios se comportam de maneira contrária a carga  $q(x)$ , aplicando uma força para cima, ou seja, sentido positivo do referencial. O referencial do momento será assumido como positivo para o sentido anti-horário. Assim pode-se esboçar a equação das forças resultantes em  $Y$ :

$$\sum F_y = 0$$

$$A_y + B_y - qL = 0 \quad (16)$$

$$\sum M_a = 0$$

$$B_y L - qL \left( \frac{L}{2} \right) = 0 \quad (17)$$

Logo,

$$B_y = \frac{qL}{2} \text{ e } A_y = \frac{qL}{2}$$

Que correspondem as equações das reações de apoio nos pontos  $A$  e  $B$ . Pela equação (1) pode-se obter, as funções correspondentes ao cortante ( $V$ ), ao momento ( $M$ ), a inclinação  $\frac{dy}{dx}$ , e a deflexão  $y$ . Integrando uma vez, obtêm-se o cortante  $V$ :

$$V(x) = \frac{qL}{2} - qx \quad (18)$$

A partir da segunda integral, encontra-se a equação do momento em vigas bi apoiadas:

$$M(x) = \frac{qLx}{2} - \frac{qx^2}{2} \quad (19)$$

Pode-se estabelecer condições de contorno nos pontos *A* e *B* para analisar a partir da equação de momento, pois o próximo passo será determinar a inclinação fornecida pela razão entre a variação de *y* pela variação de *x*. Considerando *A* como o ponto inicial, temos que em *A*,  $x = 0, y = 0$ . E em *B*,  $x = L, y = 0$ . Ao integrar pela terceira e quarta vez, obtêm-se duas constantes desconhecidas que serão encontradas utilizando a condição de contorno mencionada:

$$EI \frac{dy}{dx} = \frac{qLx^2}{4} - \frac{qx^3}{6} + C_1 \quad (20)$$

$$EIy = \frac{qLx^3}{12} - \frac{qx^4}{24} + C_1x + C_2 \quad (21)$$

Em *A*,  $x = 0, y = 0$ ., obtemos que  $C_2 = 0$ .

Em *B*,  $x = L, y = 0$ ., obtemos que  $C_1 = -\frac{qL^3}{24}$ .

Assim a inclinação e a deflexão são representadas pelas seguintes funções:

$$\theta = \frac{dy}{dx} = \frac{qLx^2}{4EI} - \frac{qx^3}{6EI} - \frac{qL^3}{24EI} \quad (22)$$

$$y = \frac{qLx^3}{12EI} - \frac{qx^4}{24EI} - \frac{qLx^3}{24EI} \quad (23)$$

## Resultados

Através das fórmulas deduzidas pode-se determinar de forma simples e precisa o comportamento de diversos tipos de viga sob a ação uma carga. Na Tabela (1) estão descritas as informações de um exemplo aplicado. O exemplo em questão diz respeito a uma viga em 'I' feita de aço. Para cada material as constantes do módulo de elasticidade de Young ( $E$ ) e do momento de inércia ( $I$ ) assumem valores diferentes.

Utilizando a Equação (15) para o cálculo da deflexão máxima, a partir dos valores inseridos na Tabela 1, encontra-se a seguinte expressão:

$$y(\max) = \frac{5(11,3 \frac{N}{m})(1,2 \text{ m})^4}{384(2,07 \times 10^{11} \frac{N}{m^2})(5,7935 \times 10^{-8} m^4)}$$

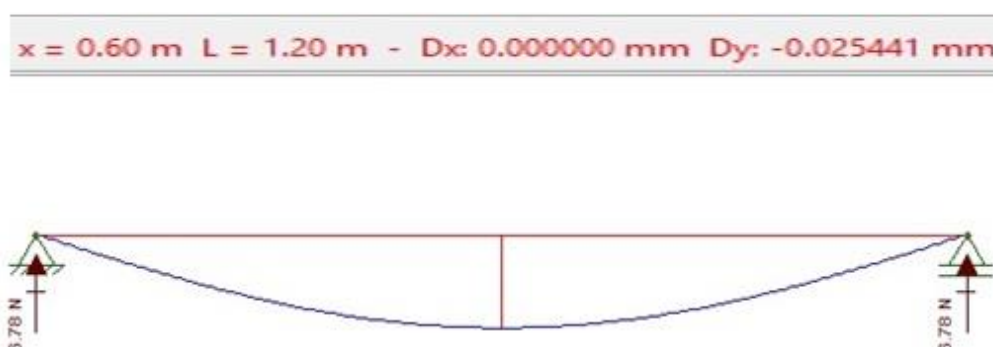
$$y(\max) = 2,544 \times 10^{-5} \text{ m}$$

*ou*

$$y(\max) = 0,02544 \text{ mm}$$

Por ser uma carga distribuída uniformemente ao longo da viga (ver Figura 7), o valor de  $x$  em que essa deformação máxima ocorrerá será em  $\frac{L}{2} = 0,60 \text{ m}$ . O diagrama abaixo gerado pelo Ftool demonstra a exatidão do cálculo e o comportamento da deflexão:

Figura 7 – Flecha máxima pelo Ftool



Como falado anteriormente, em muitas aplicações da engenharia, é necessário analisar e compreender o comportamento dos materiais utilizados e

estudados. Com estes dados e *softwares* adequados, é possível um dimensionamento correto e uma escolha adequada do material para uma construção. Neste trabalho foi possível determinar a deflexão ao longo de um eixo, facilitando a compreensão do comportamento da viga bi apoiada. Os programas utilizados, como o Ftool e o Wolfram, são de extrema importância para determinar as equações e diagramas necessários para a resolução dos problemas, favorecendo uma exatidão no cálculo e na obtenção dos resultados.

## Referências

CAMPOS, Alessandro Torres; FARIAS, Carlos Vasconcelos. *Reflexões sobre o ensino de Engenharia no Brasil*. Mimesis, Bauru, v., 20, n. 2, 39-57, 1999.

CÉSAR, Christian. *Deflexão de Vigas Método da Integração Direta*. São Paulo: UNISANTOS, [ca.2010]. Disponível em: <<http://www.ebah.com.br/content/ABAAAFrwwAF/deflexao-vigas-metodo-integracao-direta>>. Acesso em: 09 set. 2016.

FLEMMING, Diva M.; LUZ, Elisa F.; WAGNER, Robson. *Equações Diferenciais na Engenharia Civil: uma proposta didática*. Palhoça: UNISUL – Universidade do Sul de Santa Catarina. NEEM – Núcleo de Estudos em Educação Matemática, Palhoça – SC.

GAMA, Erica Dantas Pereira; MENEZES, Lucas da Mata Rocha. *Equações diferenciais aplicadas a flexão de vigas*. Disponível em: [http://pt.slideshare.net/lucass\\_menezes/equaes-diferenciais-aplicada-flexao-de-vigas](http://pt.slideshare.net/lucass_menezes/equaes-diferenciais-aplicada-flexao-de-vigas). Acesso em: 25 jun. 2016.

GONÇALVES, Ivan Henrique. *Análise de Deformações em Vigas com Comportamento Geometricamente Não-linear*. Dissertação de Mestrado - Universidade Federal de Itajubá, Instituto de Engenharia Mecânica, Programa de Pós-Graduação em Engenharia Mecânica, 2006.

GOULART, Guilherme Ribeiro; OLIVEIRA, Guilherme Azevedo; PROENÇA, Anderson Ramos. *Métodos de determinação de deflexão flexional e inclinação: Aplicação em viga escalonada*. Minas Gerais, Universidade Federal de Uberlândia, Faculdade De Engenharia Mecânica, 2010.

HIBBELER, R.C. *Resistência dos materiais*. São Paulo: Pearson Prentice Hall, 2004.

JARDIM, D. F., SILVA, J. M., PEREIRA, M. M., SOARES JUNIOR, E. A., NEPOMUCEMA, T. V., PINHEIRO, T. R. Estudando limites com o Geogebra. *Revista Científica Vozes dos Vales*. N. 08. 2015.

LEET, Keneth M; UANG Chia-Ming; GILBERT Anne M. *Fundamentos da análise estrutural*. 3ª ed. Porto Alegre: AMGH, 2010.

LOBO, Roberto. *Para que devem ser formados os novos engenheiros?*. São Paulo, 2012. Disponível em: <http://educacao.estadao.com.br/noticias/geral,artigo-para-que-devem-ser-formados-os-novos-engenheiros,838027>. Acesso em: 24 jun. 2016.

LOUZAS, Rodrigo. *Autorizada a construção da maior ponte pênsil da América Latina*. São Paulo, 2014.

RIOS, Dermival Ribeiro. *Novo minidicionário escolar da língua portuguesa*. 2001. São Paulo: DCL, 1999.

ROCHA, Gabriel Gomes. *Solução Analítica de um problema de deflexão de viga comparada com o método de Elementos Finitos Unidimensional*. Rio Grande do Sul, Faculdade de Matemática PUCRS, 2014.

SARTURI, Francis Diego Moretto. *Simulação computacional de estruturas de concreto reforçadas com aço e compósitos de fibra de carbono*. Dissertação (Mestrado em Ciências) - Programa de Pós-Graduação em Métodos Numéricos em Engenharia – Mecânica Computacional da Universidade Federal do Paraná, Curitiba, 2014.

Sobre o Masp: histórico. (s.d). Museu de Arte de São Paulo. Disponível em: <[http://masp.art.br/masp2010/sobre\\_masp\\_historico.php](http://masp.art.br/masp2010/sobre_masp_historico.php)>. Acesso em: 11 set. 2016.

THOMAS, Lucas Rangel. *O uso de equações diferenciais na modelagem de sistemas naturais e outros*. Brasília: Universidade de Brasília, 2013. Trabalho de Conclusão de Curso - Universidade de Brasília -Faculdade UnB Planaltina, 2013.

ZILL, Dennis G.; CULLEN, Michael R. *Equações Diferenciais*, vol. 1. 3ª ed. São Paulo, 2001.

Processo de Avaliação por Pares: (*Blind Review* - Análise do Texto Anônimo)

Publicado na Revista Vozes dos Vales - [www.ufvjm.edu.br/vozes](http://www.ufvjm.edu.br/vozes) em: 10/10/2016

Revista Científica Vozes dos Vales - UFVJM - Minas Gerais - Brasil

[www.ufvjm.edu.br/vozes](http://www.ufvjm.edu.br/vozes)

[www.facebook.com/revistavozesdosvales](https://www.facebook.com/revistavozesdosvales)

UFVJM: 120.2.095-2011 - QUALIS/CAPES - LATINDEX: 22524 - ISSN: 2238-6424

Periódico Científico Eletrônico divulgado nos programas brasileiros *Stricto Sensu*

(Mestrados e Doutorados) e em universidades de 38 países,

em diversas áreas do conhecimento.